

การสร้างแบบจำลองคอมพิวเตอร์ และหาเงื่อนไขการปฏิบัติการ  
ที่เหมาะสม ของเครื่องอบแห้งแบบพาหะลม ในอุตสาหกรรมปั้ง



นาย ชัยรัตน์ ศรีโวภานนช

วิทยานิพนธ์นี้ เป็นส่วนหนึ่งของการศึกษาตามหลักสูตรปริญญาวิศวกรรมศาสตรมหาบัณฑิต

ภาควิชา วิศวกรรมเคมี

บัณฑิตวิทยาลัย จุฬาลงกรณ์มหาวิทยาลัย

พ.ศ. 2539

ISBN 974-633-407-7

ลิขสิทธิ์ของบัณฑิตวิทยาลัย จุฬาลงกรณ์มหาวิทยาลัย

I 1689473X

Mathematical Modeling and Optimization of  
a Pneumatic Conveying Dryer in  
the Starch Industry

Mr. Chairat Srivotanai

A Thesis Submitted in Partial Fulfillment of the  
Requirements for the Degree of Master of Engineering

Department of Chemicals Engineer

Graduate school

Chulalongkorn University

1996

ISBN 974-633-407-7

หัวข้อวิทยานิพนธ์

การสร้างแบบจำลองคอมพิวเตอร์และนำเสนอใช้การปฏิบัติการ  
ที่เหมาะสมของเครื่องคอมพิวเตอร์แบบพาหะลมในอุตสาหกรรมปั๊ง

โดย

นาย ชัยรัตน์ ศรีโวทกานนท์

ภาควิชา

วิศวกรรมเคมี

อาจารย์ที่ปรึกษา

ศาสตราจารย์ ดร. วิวัฒน์ ตั้มทะพานิชกุล



บัญชีวิทยาลัย จุฬาลงกรณ์มหาวิทยาลัย อนุมัติให้นับวิทยานิพนธ์ฉบับนี้เป็น<sup>4</sup>  
ส่วนหนึ่งของการศึกษาตามหลักสูตรปริญญามหาบัณฑิต

.....  
..... คณบดีบัญชีวิทยาลัย  
(รองศาสตราจารย์ ดร. สันติ ถุงสุวรรณ).

คณะกรรมการสอบวิทยานิพนธ์

.....  
..... ประธานกรรมการ  
(ศาสตราจารย์ ดร. ปิยะสาร ประเสริฐธรรม)

.....  
..... อาจารย์ที่ปรึกษา  
(ศาสตราจารย์ ดร. วิวัฒน์ ตั้มทะพานิชกุล)

.....  
..... กรรมการ  
(ดร. ชัยรัตน์ ชรินพานิชกุล)

พิมพ์ดันฉบับทัศน์อวิทยานิพนธ์ภายในกรอบสีเขียวที่เพียงแผ่นเดียว



ชื่อค้น : การซึ้งแบบจำลองคณิตศาสตร์และหาเงื่อนไขการปฏิบัติการที่เหมาะสมของเครื่องอบแห้งแบบ  
พาราโบลิกในอุตสาหกรรมแป้ง (MATHEMATICAL MODELING AND OPTIMIZATION OF A  
PNEUMATIC CONVEYING DRYER IN THE STARCH INDUSTRY) อ.ที่ปรึกษา พ.ศ.

วิจัย ต้มตะพาบโซกุล , 160 หน้า ISBN 974-633-407-7

งานวิจัยวิทยานิพนธ์นี้ได้ประยุกต์แบบจำลองของ Matsumoto และ D.C.T. Pei มาใช้กับการอบแห้งแป้งมันสำปะหลังได้เป็นผลลัพธ์ แบบจำลองสามารถคำนวณการเปลี่ยนแปลงของตัวแปรต่างๆ ได้แก่ อุณหภูมิลมร้อน  $T_g$  , อุณหภูมิวัตถุ  $T_s$  , ความชื้นลมร้อน  $H$  , ความชื้นวัตถุ  $w$  เมื่อเปรียบเทียบผลการซึ้งและผลการดัดจริง ที่ทางออกเครื่องอบแห้ง พบว่า แบบจำลองนี้สามารถคำนวณคำนวณตัวแปรต่างๆ ดังนี้ อุณหภูมิลมร้อน  $T_g$  มีแนวโน้มต่ำกว่าอุณหภูมิร่อง 3-6 °C อุณหภูมิวัตถุ  $T_s$  มีแนวโน้มสูงกว่าอุณหภูมิร่องประมาณ 10-15 °C ความชื้นลมร้อน  $H$  มีแนวโน้มสูงกว่าอุณหภูมิร่องประมาณ 0.002-0.005 kg ไอน้ำ/kg อากาศแห้ง และความชื้นวัตถุ  $w$  มีแนวโน้มต่ำกว่าอุณหภูมิร่องประมาณ 0.01-0.05 kg ไอน้ำ /kg วัตถุไวรชัน

เมื่อใช้แบบจำลองที่คำนวณโดยใช้การปฏิบัติงานที่เหมาะสม! สรุปได้ว่า

กรณีที่ 1 การหาเงื่อนไขการเติบโตของเชื้อรังแห้งให้มีประสิทธิภาพสูงขึ้นกว่าปัจจุบัน เงื่อนไขการเติบโตของเชื้อรังแห้งของโรงงานอาจใช้ความเร็วลมร้อนสูงเกินไป เมื่อทดสอบความเร็วลมร้อนลงมาที่ 25 m/sec พบว่าสามารถลดเวลาใช้ในการอบแห้งได้ประมาณ 100 นาที/ตัน แป้งแห้ง เมื่อศึกษาโดยรวมพบว่า เมื่อมีการเปลี่ยนแปลงความเร็วลมร้อน 1 m/sec จะมีผลให้ต่ำให้ต่ำกว่าจุดการทำงานเบี่ยงความไม่平衡 20 นาที/ตัน แป้งแห้ง ในขณะที่การเปลี่ยนอุณหภูมิลมร้อน 1 °C จะมีผลให้ต่ำกว่าจุดการทำงานเบี่ยงความไม่平衡 2 นาที/ตัน แป้งแห้ง

กรณีที่ 2 การหาเงื่อนไขที่เหมาะสมในการเพิ่มกำลังการผลิตของเครื่องอบแห้งให้สูงขึ้น พบว่าเมื่อเพิ่มกำลังการอบแห้งของเครื่องอบแห้งของโรงงานที่ 30 % ที่ใช้จ่ายการปฏิบัติงานจะลดลง ประมาณ 96 นาที/ตัน แป้งแห้ง

ศูนย์วิทยทรัพยากร  
จุฬาลงกรณ์มหาวิทยาลัย

## C517103 : MAJOR CHEMICALS ENGINEER

KEY WORD: PNEUMATIC CONVEYING DRYER/ MODELING/ STARCH

CHAIRAT SRIVOTANAI : MATHEMATICAL MODELING AND OPTIMIZATION  
OF A PNEUMATIC CONVEYING DRYER IN THE STARCH INDUSTRY

THESIS ADVISOR : PROF. WIWUT TANTHAPANICHAKOON , Ph.d. 160 pp.

ISBN 974-633-407-7

The thesis work successfully applied the mathematical model proposed by Matsumoto and D.C.T. Pei to starch drying. The model can predict the changes in the state variables of the drying process, such as temperature of hot air ( $T_g$ ), temperature of material ( $T_s'$ ), humidity of hot air ( $H$ ), and moisture content of material ( $w$ ). When the simulated outlet results were compared to the experimental results, the following conclusions were obtained. The hot air temperature ( $T_g$ ) corresponding tended to be 3-6 °C lower than the actual, the material temperature about 10-15 °C higher, the hot air humidity about 0.002-0.005 kg water /kg dry air higher while the material moisture content about 0.01-0.05 kg water/kg dry material lower than the actual. When the model was used to find the optimum operating conditions the conclusions were as follows :

Case 1. To find the operating conditions for higher efficiency. At present the factory operated at quite high hot air velocity. When the velocity of the hot air was reduced to 25 m/sec, the operating costs dropped about 100 baht/ton dry starch. On the average, when the air velocity decreased 1 m/sec the operating costs dropped about 20 baht/ton dry starch, while 1 °C change in the hot air temperature changed the operating costs about 2 baht/ton dry starch.

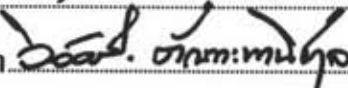
Case 2. to find the operating conditions for higher capacity. It was found that when the drying capacity of the factory was increased 30 %, the operating costs dropped about 96 baht/ton dry starch

ศูนย์วิทยบริการ  
จุฬาลงกรณ์มหาวิทยาลัย

ภาควิชา วิศวกรรมเคมี

ลายมือชื่อนิสิต 

สาขาวิชา วิศวกรรมเคมี

ลายมือชื่ออาจารย์ที่ปรึกษา 

ปีการศึกษา 2538

ลายมือชื่ออาจารย์ที่ปรึกษาร่วม 



## สารบัญ

หน้า

บทคัดย่อภาษาไทย .....	๔
บทคัดย่อภาษาอังกฤษ.....	๕
กิตติกรรมประกาศ.....	๗
สารบัญตาราง.....	๑๑
สารบัญรูป.....	๑๒
สารบัญลักษณ์.....	๑๓
บทที่ ๑ บทนำ.....	๑
1.1 นวัตกรรมฯ.....	๑
1.2 วัสดุประสงค์ของวิทยานิพนธ์.....	๒
1.3 ขอบเขตของวิทยานิพนธ์.....	๒
บทที่ ๒ สรุปผลงานวิจัยในอดีต.....	๔
บทที่ ๓ เครื่องอบแห้งแบบพาหะลม.....	๑๓
3.1 ความรู้พื้นฐานของการอบแห้ง.....	๑๓
3.2 กลไกการอบแห้ง.....	๑๔
3.3 เครื่องอบแห้งแบบพาหะลม.....	๑๖
บทที่ ๔ แบบจำลองคณิตศาสตร์ของเครื่องอบแห้งแบบพาหะลม.....	๓๐
4.1 สมการคุณภาพสารรวม.....	๓๑
4.2 สมการคุณภาพของพลังงานความร้อนรวม.....	๓๑
4.3 สมการคุณภาพของน้ำในวัสดุชั้น.....	๓๒
4.4 สมการคุณภาพของน้ำในลมร้อน.....	๓๒
4.5 สมการคุณภาพของพลังงานความร้อนในวัสดุชั้น.....	๓๓
4.6 สมการคุณภาพของพลังงานในลมร้อน.....	๓๔
4.7 สมการการเคลื่อนที่ของอนุภาค.....	๓๖
4.8 อัลกอริทึมและผังการคำนวณ.....	๓๘

<b>บทที่ 5 การทดสอบแบบจำลอง เงื่อนไขและผลการชิมเลต.....</b>	<b>65</b>
5.1 เครื่องอบแห้งที่ใช้ในการศึกษาและทดสอบแบบจำลอง....	65
5.2 วิธีการเก็บข้อมูล.....	67
5.3 ผลการทดลอง.....	68
5.4 แนวทางการชิมเลต.....	69
5.5 ผลการทดสอบความถูกต้องเหมาะสมของแบบจำลอง....	70
5.6 การนำเสนอเงื่อนไขการปฏิบัติงานที่เหมาะสมของ เครื่องอบแห้งแบบพาหะลม.....	93
<b>บทที่ 6 บทสรุปข้อเสนอแนะ.....</b>	<b>110</b>
รายการอ้างอิง.....	114
<b>ภาคผนวก</b>	
ภาคผนวก ก. คุณสมบัติของอากาศ.....	118
ก.1 ความดันไออกซ์เจนตัวของน้ำที่อุณหภูมิต่าง ๆ.....	119
ก.2 ความชื้นอีมตัวของอากาศชื้น.....	120
ก.3 ความร้อนแห้งของอากาศของน้ำที่อุณหภูมิต่าง ๆ...	120
ก.4 ปริมาตรจำเพาะและความหนาแน่นของอากาศชื้น.....	121
ก.5 สัมประสิทธิ์การแพร่ระหัสที่น้ำกับอากาศ.....	121
ก.6 ความจุความร้อนของอากาศ.....	122
ก.7 ความนำความร้อนของอากาศ.....	122
ก.8 ความหนืดของอากาศ.....	123
ภาคผนวก ข. การวัดความเร็วของอากาศ.....	127
ภาคผนวก ค. อัลกอริทึม วิธี รันเจ-คิตตา ออร์เดอร์ 3 และ 4....	129
ภาคผนวก ง. การหาการกระจายขนาดอนุภาคแบ่ง.....	132
ภาคผนวก จ. ตัวอย่างการคำนวณ.....	134
ภาคผนวก ฉ. การคำนวณค่าความตันลด.....	137
ภาคผนวก ช. ผลการเก็บข้อมูล.....	139
ภาคผนวก ช. ผลการชิมเลต.....	145
ภาคผนวก ฌ. ตัวอย่างโปรแกรม.....	149

## สารบัญตาราง

ตารางที่	หน้า
3.1 ตัวอย่างการประยุกต์ใช้เครื่องอบแห้งแบบพาหะลมชนิดต่างๆ ในอุตสาหกรรม.....	29
5.1 ความสัมพันธ์ระหว่างค่า $S_x = \sqrt{\sum (X_{1 \leq i \leq m} - X_{\bar{x}})^2}$ กับขนาดเชิงประดิษฐ์ผลของอนุภาคที่ใช้ชีมูเลต.....	71
5.2 ค่าการค่านวณของ $ha$ สำหรับอนุภาคขนาดต่าง ๆ .....	75
5.3 ตัวอย่างเงื่อนไขการปฏิบัติงานที่ใช้ชีมูเลต.....	89
5.4 ค่าท่านายของความชื้นวัสดุที่ทางออกเครื่องอบแห้ง .....	95
5.5 ค่าใช้จ่ายด้านพลังงานที่ความเร็วลมร้อนต่างๆ (อุณหภูมิลมร้อน = $190^{\circ}\text{C}$ ).....	96
5.6 ค่าใช้จ่ายด้านพลังงานที่ความเร็วลมร้อนต่างๆ (อุณหภูมิลมร้อน = $205^{\circ}\text{C}$ ).....	96
5.7 ค่าใช้จ่ายด้านพลังงานที่ความเร็วลมร้อนต่างๆ (อุณหภูมิลมร้อน = $220^{\circ}\text{C}$ ).....	97
5.8 ค่าใช้จ่ายการปฏิบัติงานต่อหน่วยแป้งแห้ง (บาท/ตันแป้งแห้ง) กับ ความเร็วลมร้อน ที่อุณหภูมิลมร้อนต่างๆ .....	97
5.9 ความชื้นของแป้งที่ทางออกเครื่องอบแห้ง ที่กำลังการผลิตและ ความเร็วลมร้อนต่างๆ สำหรับอุณหภูมิลมร้อนชาเข้า = $190^{\circ}\text{C}$ .....	101
5.10 ความชื้นของแป้งที่ทางออกเครื่องอบแห้ง ที่กำลังการผลิตและ ความเร็วลมร้อนต่างๆ สำหรับอุณหภูมิลมร้อนชาเข้า = $205^{\circ}\text{C}$ .....	102
5.11 ความชื้นของแป้งที่ทางออกเครื่องอบแห้ง ที่กำลังการผลิตและ ความเร็วลมร้อนต่างๆ สำหรับอุณหภูมิลมร้อนชาเข้า = $220^{\circ}\text{C}$ .....	102
5.12 ค่าใช้จ่ายการปฏิบัติงานต่อหน่วยแป้งแห้ง (บาท/ตันแป้งแห้ง) กับกำลังการผลิตสำหรับอุณหภูมิลมร้อนชาเข้า = $190^{\circ}\text{C}$ .....	104

5.13	ค่าใช้จ่ายการปฏิบัติงานต่อหน่วยเป็นแผงห้อง (บาท/ตันเป็นแผงห้อง)	
	กับกำลังการผลิต สำหรับอุณหภูมิลมร้อนขาเข้า = 205 °C ....	105
5.14	ค่าใช้จ่ายการปฏิบัติงานต่อหน่วยเป็นแผงห้อง (บาท/ตันเป็นแผงห้อง)	
	กับกำลังการผลิตสำหรับอุณหภูมิลมร้อนขาเข้า = 220 °C ....	105
ก1.	เปรียบเทียบค่า ความดันไอ้น้ำอิมตัว ( $P_i$ )	
	ความดันสัมบูรณ์อิมตัว ( $H_i$ ) และ ความร้อน放งของกําระเนย ( $\lambda$ ) ที่ค่านวณได้กับค่าจาก Handbook.....	124
ก2.	เปรียบเทียบค่า ความนำความร้อน ( $K_x$ )	
	ความร้อนจำเพาะ ( $C_p$ ) และ ความหนืด ( $\mu_x$ ) ที่ค่านวณได้ กับค่าจาก Handbook.....	125
ก3.	เปรียบเทียบค่า สัมประสิทธิ์การแพร่ ( $D_{AB}$ ) ที่ค่านวณได้	
	กับที่ได้จาก Handbook.....	126
ง	ผลการทดลองหากการกระเจิงขนาดอนุภาคเป็นแผงห้อง.....	132
ช	ผลการวัดข้อมูลจริงในโรงงาน.....	140
ช	ผลการซึ่มเลดข้อมูลจากแบบจำลอง.....	146

## ศูนย์วิทยบริการ อุสาหงค์รวมมหาวิทยาลัย

## สารบัญ

รูปที่		หน้า
1.1	กระบวนการการทำไวในการผลิตแป้งมันสำปะหลัง.....	3
3.1	เส้นลักษณะเฉพาะของกรอบแห้ง.....	15
3.2	การเปลี่ยนแปลงสภาวะของลมร้อนและวัสดุภายในเครื่องอบแห้ง.....	17
3.3	เครื่องอบแห้งแบบพาหะลมอ่างจ่าย.....	18
3.4	เครื่องอบแห้งแบบ Raymond flash dryer.....	21
3.5	เครื่องอบแห้ง Buttner-Rosin pneumatic dryer.....	21
3.6	เครื่องอบแห้งแบบ Berks ring dryer.....	22
3.7	เครื่องอบแห้งแบบ Closed circuit direct fired ring dryer.....	22
3.8	เครื่องอบแห้งแบบพาหะลมชนิดป้อนวัสดุโดยตรง.....	24
3.9	เครื่องอบแห้งแบบพาหะลมชนิดมีเครื่องกระเจียดวัสดุ.....	24
3.10	เครื่องอบแห้งแบบพาหะลมชนิดมี Disintegrator.....	25
3.11	เครื่องอบแห้งแบบพาหะลมสำหรับถ่านหินแดง.....	27
3.12	เครื่องอบแห้งแบบพาหะลมสำหรับเชือกราช.....	28
3.13	เครื่องอบแห้งแบบไอน้ำสำหรับเชือกราช.....	28
4	ไดอะแกรมแสดงการพิจารณาเครื่องอบแห้งที่ความกว้าง $\Delta x$ ...	32
5.1	ไดอะแกรมเครื่องอบแห้งแบบพาหะลมในโรงงานที่ใช้ศึกษา...	66
5.2ก.	ความสัมพันธ์ระหว่าง $S_x$ กับ $d_p$ กรณี $x = T_g$ ( $^{\circ}C$ ).....	73
5.2ข.	ความสัมพันธ์ระหว่าง $S_x$ กับ $d_p$ กรณี $x = T_s$ ( $^{\circ}C$ ).....	73
5.2ค.	ความสัมพันธ์ระหว่าง $S_x$ กับ $d_p$ กรณี $x = H (-)$ .....	74
5.2ง.	ความสัมพันธ์ระหว่าง $S_x$ กับ $d_p$ กรณี $x = w (-)$ .....	74
5.3	ความสัมพันธ์ระหว่างอัตราส่วน $ha(d_p)/ha(0.121 \text{ mm.})$ กับ $d_p$ .....	76
5.4ก.	ความสัมพันธ์ระหว่างค่าของอุณหภูมิลมร้อนที่ทางออก $T_g$ ที่ได้จากการทดลองกับที่ได้จากการซึ่งเลต .....	78

5.4.๘. ความสัมพันธ์ระหว่างค่าของอุณหภูมิวัสดุที่ทางออก Ts ที่ได้จากการทดลองกับที่ได้จากการซึ่งเลต .....	78
5.4.๙. ความสัมพันธ์ระหว่างค่าของความชื้นของลมร้อนที่ทางออก H ที่ได้จากการทดลองกับที่ได้จากการซึ่งเลต.....	79
5.4.๑๐. ความสัมพันธ์ระหว่างค่าของความชื้นของวัสดุที่ทางออก พ ที่ได้จากการทดลองกับที่ได้จากการซึ่งเลต.....	79
5.5 ความสัมพันธ์ระหว่างค่าของอุณหภูมิวัสดุที่ทางออก Ts ซึ่งค่า nau ได้โดยใช้สมการ (5.1) กับค่าที่ได้จากการ ปฏิบัติงานจริงในโรงงาน.....	80
5.6.๔. ความสัมพันธ์ระหว่างค่าของอุณหภูมิลมร้อนที่ทางออก Tg ที่ได้จากการทดลองกับที่ได้จากการซึ่งเลต กรณี $a=0.65$ ....	81
5.6.๕. ความสัมพันธ์ระหว่างค่าของอุณหภูมิวัสดุที่ทางออก Ts ที่ได้จากการทดลองกับที่ได้จากการซึ่งเลต กรณี $a=0.65$ ....	82
5.6.๖. ความสัมพันธ์ระหว่างค่าของความชื้นของลมร้อนที่ทางออก H ที่ได้จากการทดลองกับที่ได้จากการซึ่งเลต กรณี $a=0.65$ ....	82
5.6.๗. ความสัมพันธ์ระหว่างค่าของความชื้นของวัสดุที่ทางออก พ ที่ได้จากการทดลองกับที่ได้จากการซึ่งเลต กรณี $a=0.65$ ....	83
5.7.๔. ความสัมพันธ์ระหว่างค่าของอุณหภูมิลมร้อนที่ทางออก Tg ที่ได้จากการทดลองกับที่ได้จากการซึ่งเลต กรณี $a=0.68$ ....	83
5.7.๕. ความสัมพันธ์ระหว่างค่าของอุณหภูมิวัสดุที่ทางออก Ts ที่ได้จากการทดลองกับที่ได้จากการซึ่งเลต กรณี $a=0.68$ ....	84
5.7.๖. ความสัมพันธ์ระหว่างค่าของความชื้นของวัสดุที่ทางออก H ที่ได้จากการทดลองกับที่ได้จากการซึ่งเลต กรณี $a=0.68$ ....	84
5.7.๗. ความสัมพันธ์ระหว่างค่าของความชื้นของวัสดุที่ทางออก พ ที่ได้จากการทดลองกับที่ได้จากการซึ่งเลต กรณี $a=0.68$ ....	85
5.8.๔. ความสัมพันธ์ระหว่างค่าของอุณหภูมิลมร้อนที่ทางออก Tg ที่ได้จากการทดลองกับที่ได้จากการซึ่งเลต กรณี $a=0.70$ ....	85
5.8.๕. ความสัมพันธ์ระหว่างค่าของอุณหภูมิวัสดุที่ทางออก Ts ที่ได้จากการทดลองกับที่ได้จากการซึ่งเลต กรณี $a=0.70$ ....	86

5.8ค. ความสัมพันธ์ระหว่างค่าของความชื้นของลมร้อนที่ทางออก H ที่ได้จากการทดลองกับที่ได้จากการซึ่มเลต กรณี $a=0.70$ .....	86
5.8ง. ความสัมพันธ์ระหว่างค่าของความชื้นของวัสดุที่ทางออก W ที่ได้จากการทดลองกับที่ได้จากการซึ่มเลต กรณี $a=0.70$ .....	87
5.9ก. ความสัมพันธ์ระหว่างค่าของอุณหภูมิวัสดุที่ทางออก $T_s'$ ซึ่งค่าวนะได้โดยใช้สมการ (5.1) กับค่าที่ได้จากการ ปฏิบัติงานจริงในโรงงาน กรณี $a=0.65$ .....	87
5.9ข. ความสัมพันธ์ระหว่างค่าของอุณหภูมิวัสดุที่ทางออก $T_s'$ ซึ่งค่าวนะได้โดยใช้สมการ (5.1) กับค่าที่ได้จากการ ปฏิบัติงานจริงในโรงงาน กรณี $a=0.68$ .....	88
5.9ค. ความสัมพันธ์ระหว่างค่าของอุณหภูมิวัสดุที่ทางออก $T_s'$ ซึ่งค่าวนะได้โดยใช้สมการ (5.1) กับค่าที่ได้จากการ ปฏิบัติงานจริงในโรงงาน กรณี $a=0.70$ .....	88
5.10. ความสัมพันธ์ระหว่างอุณหภูมิลมร้อนที่ทางออก $T_g$ ที่ได้จากการซึ่มเลตกับความเยาวท่ออบแห้ง กรณี $a=0.65$ .....	89
5.11. ความสัมพันธ์ระหว่างอุณหภูมิวัสดุที่ทางออก $T_s$ และ $T_s'$ ที่ได้จากการซึ่มเลต กับความเยาวท่ออบแห้ง กรณี $a=0.65$ ....	90
5.12. ความสัมพันธ์ระหว่างความชื้นของลมร้อนที่ทางออก H ที่ได้จากการซึ่มเลต กับ ความเยาวท่ออบแห้ง กรณี $a=0.65$ ... 90	
5.13. ความสัมพันธ์ระหว่างความชื้นของวัสดุที่ทางออก W ที่ได้จากการซึ่มเลต กับ ความเยาวท่ออบแห้ง กรณี $a=0.65$ .. 91	
5.14 ความสัมพันธ์ระหว่างความเร็วลมร้อน $u_x$ , ความเร็วของวัสดุ $u_z$ และ $(u_x - u_z)$ กับความเยาวท่ออบแห้ง....91	
5.15 ความสัมพันธ์ระหว่างความชื้นวัสดุที่ทางออกเครื่องอบแห้ง กับความเร็วลมร้อน (ผลการซึ่มเลต) กรณี อุณหภูมิลมร้อน = 190, 205, 220 °C ..... 98	
5.16 ความสัมพันธ์ระหว่างค่าใช้จ่ายการปฏิบัติงานต่อหน่วย (บาท/ตันแป้งแห้ง) กับความเร็วลมร้อน กรณี อุณหภูมิลมร้อน = 190, 205, 220 °C..... 99	

## สารบัญสัญลักษณ์

### สัญลักษณ์

- a ฟันที่ผิวของอนุภาคแป้งต่อปริมาตรเครื่องอบแห้ง ( $m^{-1}$ )
- c ความจุความร้อนจำเพาะที่ความดันคงที่ (Kcal/Kg.K)
- $C_d$  สัมประสิทธิ์ของแดร็ก (Drag Coefficient)
- D เส้นผ่าศูนย์กลางของท่ออบแห้ง (m)
- $D_p$  เส้นผ่าศูนย์กลางของอนุภาคแป้ง (m)
- Fr ตัวเลขฟ clue (Froude number,  $u_{\infty} / \sqrt{g.D}$ )
- G อัตราการไหลเชิงมวลของลมร้อน (Kg/hr)
- H ความชื้นสัมบูรณ์ของลมร้อน
- $h_v$  สัมประสิทธิ์การถ่ายเทความร้อนรอบๆ อนุภาคแป้ง (Kcal/hr.m<sup>2</sup>.°C)
- i เอ็นก้าลปี (kcal / kg อากาศแห้ง)
- $K_o, K_i$  ค่าพารามิเตอร์ของสมการที่ 4.7, 4.13
- $k_H$  สัมประสิทธิ์การถ่ายเทมวล (Kg/hr.m<sup>2</sup>)
- M มวลในเลกูล (kg)
- m อัตราส่วนการไหลเชิงมวลของแป้งต่อลมร้อน ( $W_o / G_a$ )
- Nu ตัวเลขนัสเซลท์ (-,  $h.d_p / k_x$ )
- $\Delta P$  ความดันลด (Kg/m<sup>2</sup>)
- Pr ตัวเลขแพรนเด็ทล ( -,  $C_p.\mu / k_x$ )
- $q_1$  อัตราการไหลของความร้อนเข้าอนุภาคแป้ง (Kcal/m<sup>2</sup>)
- $R_d$  อัตราการอบแห้งที่ผิวอนุภาคแป้ง (Kg/m<sup>2</sup>.hr)
- Re ตัวเลขเรย์โนลส์ที่ขึ้นอยู่กับเส้นผ่าศูนย์กลางท่ออบแห้ง (-,  $D.p_x / \mu_x$ )
- $Re_p$  ตัวเลขเรย์โนลส์รอบอนุภาคแป้ง (-,  $d_p.p_x / \mu_x$ )
- S ฟันที่หน้าตัดของท่ออบแห้ง (m<sup>2</sup>)

Sc	ตัวเลขซึ่งมีค่า (-, $\mu / \rho \cdot D_{ab}$ )
Sh	ตัวเลขเชอร์วูด (-, $k_h \cdot d_p / D_{ab}$ )
T	อุณหภูมิ (K)
U	ความเร็วไวรอนดิ (-)
u	ความเร็ว (m/sec)
$v_p$	ปริมาณของอนุภาคแป้ง ( $m^3$ )
w	อัตราส่วนความชื้น (Kg ไอน้ำ / Kg วัสดุแห้ง)
X	ความชื้นของท่ออบแห้งไวรอนดิ (-)

### สัญลักษณ์ภาษากรีก

$\lambda$	ความร้อนแฝงของการถอยเป็นไอ (Kcal/Kg)
$\mu$	ความหนืด (Kg/m.sec)
$\rho$	ความหนาแน่น (Kg.m <sup>3</sup> )
$\tau_u$	ความหนืดสัมพัทธ์ของลมร้อน (-)
$\tau_h$	ความหนาแน่นสัมพัทธ์ของลมร้อน (-)

### สัญลักษณ์ตัวห้อ

a	อากาศแห้ง
f	สภาพสุดท้าย
g	ลมร้อนหรือที่อุณหภูมิลมร้อน
H	อากาศชื้น
$H_2O$	น้ำ
m	ภาวะชื้น
s	วัสดุหรือที่อุณหภูมิวัสดุ
sat	ภาวะอิ่มตัว
t	ความเร็วปั๊บปลาย
v	ไอน้ำ
w	น้ำ หรือ ที่ อุณหภูมิกระเบ้า เปียก
o	ภาวะเริ่มต้น